

C6	0.1951 (2)	0.41790 (8)	1.03830 (12)	0.0362 (3)
N6	0.10380 (15)	0.35396 (7)	1.00521 (10)	0.0419 (3)
C61	0.0149 (2)	0.34444 (8)	0.90399 (12)	0.0370 (3)
C62	-0.0948 (2)	0.28872 (9)	0.88973 (12)	0.0420 (4)
C63	-0.1352 (2)	0.23432 (9)	0.98169 (13)	0.0436 (4)
O61	-0.07274 (14)	0.22914 (7)	1.07893 (10)	0.0554 (3)
O62	-0.25496 (15)	0.18862 (8)	0.94632 (10)	0.0608 (4)
C64	-0.3063 (3)	0.13186 (14)	1.0302 (2)	0.0818 (7)
C65	0.0416 (2)	0.39400 (9)	0.79632 (12)	0.0406 (3)
O63	-0.05085 (14)	0.43827 (7)	0.75195 (10)	0.0557 (3)
O64	0.17414 (13)	0.37463 (7)	0.75262 (9)	0.0510 (3)
C66	0.2054 (3)	0.40910 (15)	0.64033 (15)	0.0709 (6)

Table 2. Selected geometric parameters ( $\text{\AA}$ ,  $^\circ$ )

N1—C2	1.296 (2)	N5—C52	1.469 (2)
N1—C6	1.360 (2)	N6—C6	1.382 (2)
O2—C2	1.329 (2)	N6—C61	1.365 (2)
C2—N3	1.355 (2)	C61—C62	1.348 (2)
O2—C21	1.440 (2)	C61—C65	1.511 (2)
N3—C3	1.466 (2)	C62—C63	1.448 (2)
N3—C4	1.414 (2)	O61—C63	1.211 (2)
O4—C4	1.228 (2)	O62—C63	1.346 (2)
C4—C5	1.430 (2)	O62—C64	1.440 (2)
N5—C5	1.425 (2)	O63—C65	1.193 (2)
C5—C6	1.368 (2)	O64—C65	1.330 (2)
N5—C51	1.450 (3)	O64—C66	1.443 (2)
C6—N6—C61	128.16 (12)	N6—C61—C65	120.85 (13)
N6—C61—C62	123.74 (13)	C61—C62—C63	123.63 (13)
C62—C61—C65	115.30 (12)		
C4—C5—N5—C51	-73.3 (2)	N6—C61—C65—O64	67.8 (2)
C4—C5—N5—C52	56.9 (2)		
D—H $\cdots$ A	D—H	H $\cdots$ A	D $\cdots$ A
N6—H6 $\cdots$ O61	0.86	2.14	2.767 (2)
N6—H6 $\cdots$ N5	0.86	2.32	2.722 (2)
			129
			109

A study of  $\Delta\rho$  map sections showed that the H atoms on atom C3 were disordered. This disorder was allowed for by means of the AFIX 127 option in *SHELXL93* (Sheldrick, 1993). The diagram (Fig. 1) was prepared using *ORTEPII* (Johnson, 1976), as implemented in *PLATON* (Spek, 1995a). Examination of the structure with *PLATON* showed that there were no solvent-accessible voids in the crystal lattice.

Data collection: *CAD-4/PC Software* (Enraf–Nonius, 1992). Cell refinement: Enraf–Nonius *SET4* (de Boer & Duisenberg, 1984) and *CELDIM*. Data reduction: *DATRD2* in *NRCVAX94* (Gabe, Le Page, Charland, Lee & White, 1989). Program(s) used to solve structure: *SOLVER* in *NRCVAX*. Program(s) used to refine structure: *NRCVAX94* and *SHELXL93*. Molecular graphics: *NRCVAX94*, *PLATON* and *PLUTON* (Spek, 1995b). Software used to prepare material for publication: *NRCVAX94*, *SHELXL93* and WordPerfect.

GF thanks NSERC (Canada) for Research Grants and JC thanks Junta de Andalucía (Spain) for a Research Grant.

Lists of structure factors, anisotropic displacement parameters, H-atom coordinates, complete geometry and torsion angles have been deposited with the IUCr (Reference: AB1307). Copies may be obtained through The Managing Editor, International Union of Crystallography, 5 Abbey Square, Chester CH1 2HU, England.

## References

- Abignente, A., Arena, F., Caprariis, P., Luraschi, E., Sacchi, A., Lampa, E., Berrino, L. & Donnoli, D. (1991). *Il Farm.* **46**, 1099–1110.

- Boer, J. L. de & Duisenberg, A. J. M. (1984). *Acta Cryst. A* **40**, C-410.  
Enraf–Nonius (1992). *CAD-4/PC Software*. Version 1.1. Enraf–Nonius, Delft, The Netherlands.  
Gabe, E. J., Le Page, Y., Charland, J.-P., Lee, F. L. & White, P. S. (1989). *J. Appl. Cryst.* **22**, 384–387.  
Johnson, C. K. (1976). *ORTEPII*. Report ORNL-5138. Oak Ridge National Laboratory, Tennessee, USA.  
Sheldrick, G. M. (1993). *SHELXL93. Program for the Refinement of Crystal Structures*. University of Göttingen, Germany.  
Spek, A. L. (1995a). *PLATON. Molecular Geometry Program*. Version of July 1994. University of Utrecht, Utrecht, The Netherlands.  
Spek, A. L. (1995b). *PLUTON. Molecular Graphics Program*. Version of July 1994. University of Utrecht, Utrecht, The Netherlands.

*Acta Cryst.* (1996). **C52**, 256–259

## 3-(4-Bromophényl)-1-[4-(4-bromophényl)-3-butène-2-one-1-yl]-2-[3-(2,6,6-triméthyl-1-cyclohexène-1-yl)-2-propène-1-one-1-yl]-1,2,3,4,5,6,7,8-octahydro-8,8-diméthyl-naphthalène

DARIA GINDEROW

Laboratoire de Minéralogie et Cristallographie, URA 09  
CNRS, Université Pierre et Marie Curie, T16, 4 Place  
Jussieu, 75252 Paris CEDEX 05, France

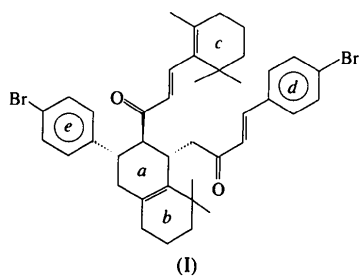
(Received 11 mars 1995, accepted 3 juillet 1995)

## Abstract

The structure of a new octahydronaphthalene is reported ( $C_{40}H_{46}Br_2O_2$ ). Disorder in the crystals arises from the coexistence of the two possible puckered conformations of the dimethylcyclohexene rings.

## Commentaire

Les recherches concernant les rétinoïdes (Valla, Andriamialisoa & Giraud, 1994; Andriamialisoa, Valla, Zennache, Giraud & Potier, 1993; Giraud, Andriamialisoa, Valla, Zennache & Potier, 1994) ont amené ces auteurs à synthétiser de nouveaux analogues parmi lesquels le composé (I) dont la formule a été



déterminée grâce à cette étude. Il est composé d'un squelette octahydronaphtalénique avec un des cycles substitué respectivement en position 1, 2 et 3 par une chaîne bromophényl-oxo-butène-yl, une chaîne cyclohexène-oxo-propène-yl et un groupement bromophényl, tandis que l'autre cycle est substitué en position 8 par deux groupements méthyles. Les atomes Br' et Br'', liés respectivement aux cycles benzéniques *d* et *e*, sont à une distance de 0,066 (1) et -0,020 (1) Å des plans moyens de ces cycles. L'angle dièdre que font les plans moyens Pab (C1,C4,C4a,C8a,C5,C8) et Pc (C12,C13,C14,C15,C18,C21) est de 8,6 (2); Pab et Pd (C13',C14',C15',C16',C17',C18') de 93,3 (1); Pab et Pe, (C13'',C14'',C15'',C16'',C17'',C18'') de 86,7 (1); Pc et Pd de 85,8 (2); Pc et Pe de 89,8 (2)°. Les cycles cyclohexènes (*b*, *c*) présentent un désordre lié au mélange de deux conformations possibles des cycles avec une occupation 0,5 des sites respectifs (Fig. 1 et 2). Les positions calculées de C2 et C3 [0,620 (4), 1,136 (4) Å] sont du même côté par rapport à Pab, ainsi le cycle a possède une configuration *gauche*. Celles des atomes C6A et C7A sont de chaque côté de ce plan [-0,46 (1), 0,45 (1) Å] et vice versa pour C6B et C7B [0,28 (1), -0,33 (1) Å], ce qui correspond à une configuration en demi-chaise pour le cycle *b*. Pour le plan Pc, C16A et C17A [-0,62 (2), 0,07 (4) Å], C16B et C17B [0,66 (2), -0,29 (3) Å], on retrouve la même distorsion quoique moins prononcée. Le cycle *c* étant en bout de chaîne, l'agitation des atomes est plus importante et la conformation calculée est moins précise. Les angles de torsions sont pour C11'-C12'-C13'-C14' de 0,3 (7), pour C11'-C12'-C13'-C18' de 177,0 (4), pour C11-C12-C13-C14 de -55,9 (9)

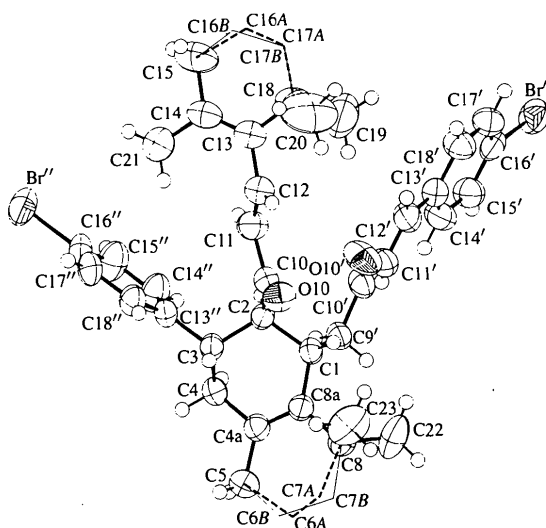


Fig. 1. Désignation des atomes. Les conformations *gauches* du cyclohexène sont représentées par des traits hachurés pour les atomes *A* et des traits fins pour les atomes *B*. Les ellipsoïdes correspondent à 50% de probabilité sauf pour les atomes d'hydrogène où les diamètres sont arbitraires.

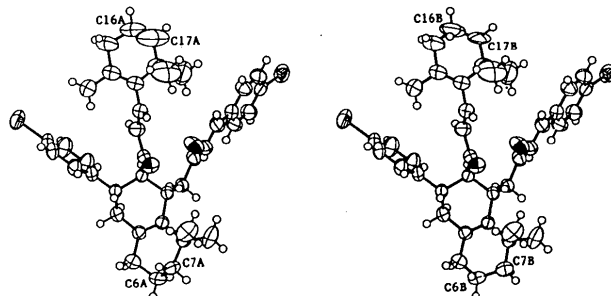


Fig. 2. Représentation du désordre. Les ellipsoïdes correspondent à 50% de probabilité sauf pour les atomes d'hydrogène où les diamètres sont arbitraires.

et pour C11-C12-C13-C18 de 128,5 (6)°. Les distances sont conformes à celles attendues. En ce qui concerne la cohésion cristalline, nous remarquons deux contacts très courts pour: C9'-H9'1...O10<sup>i</sup> 2,440 (5) avec C9'...O10<sup>i</sup> 3,375 (5) Å et un angle de 161,7 (4)° ainsi que C14''-H14''...O10<sup>i</sup>, 2,446 (6) avec C14''...O10<sup>i</sup> 3,365 (6) Å et un angle de 169,8 (5)° [code de symétrie: (i) *x*, *y*, *z* + 1].

## Partie expérimentale

Le composé (I) a été cristallisé dans un mélange d'éthanol et de chlorure de méthylène.

### Données cristallines

C <sub>40</sub> H <sub>46</sub> Br <sub>2</sub> O <sub>2</sub>	Cu K $\alpha$ radiation
M <sub>r</sub> = 718,59	$\lambda$ = 1,54180 Å
Monoclinique	Paramètres de la maille à l'aide de 25 réflexions
P <sub>2</sub> 1/a	$\theta$ = 17,90-23,52°
<i>a</i> = 23,093 (9) Å	$\mu$ = 3,127 mm <sup>-1</sup>
<i>b</i> = 25,688 (10) Å	T = 293 (2) K
<i>c</i> = 6,050 (2) Å	Prismatique
$\beta$ = 97,16 (4)°	0,42 × 0,22 × 0,17 mm
<i>V</i> = 3561,0 (23) Å <sup>3</sup>	Incolore
Z = 4	
D <sub>x</sub> = 1,340 Mg m <sup>-3</sup>	

### Collection des données

Diffractomètre Philips PW1100	4358 réflexions observées [ <i>I</i> > 3σ( <i>I</i> )]
Balance <i>flying stepscan</i> (logiciel Philips)	$R_{\text{int}}$ = 0,0267
Correction d'absorption:	$\theta_{\text{max}}$ = 64,17°
analytical (de Meulenaer & Tompa, 1965)	<i>h</i> = -26 → 26
$T_{\text{min}} = 0,418$ , $T_{\text{max}} = 0,632$	<i>k</i> = 0 → 29
6457 réflexions mesurées	<i>l</i> = 0 → 7
5849 réflexions indépendantes	3 réflexions de référence fréquence: 60 min variation d'intensité: <2,3%

### Affinement

Affinement à partir des $F^2$	$(\Delta/\sigma)_{\text{max}} = 0,001$
$R(F) = 0,0517$	$\Delta\rho_{\text{max}} = 0,757 \text{ e } \text{\AA}^{-3}$
wR( $F^2$ ) = 0,1452	$\Delta\rho_{\text{min}} = -0,626 \text{ e } \text{\AA}^{-3}$

S = 1,083  
 4358 réflexions  
 438 paramètres  
 Les paramètres des atomes  
 d'hydrogène en position  
 théorique  
 $w = 1/[\sigma^2(F_o^2) + (0,0829P)^2$   
 $+ 3,6442P]$   
 où  $P = (F_o^2 + 2F_c^2)/3$

Pas de correction  
 d'extinction  
 Facteurs de diffusion des  
*International Tables for  
 Crystallography* (1992,  
 Tome C, Tableaux 4.2.6.8  
 et 6.1.1.4)

C1—C2	1,559 (5)	C17A—C18	1,52 (2)
C2—C10	1,517 (6)	C16B—C17B	1,51 (2)
C2—C3	1,547 (5)	C17B—C18	1,527 (14)
C3—C13''	1,508 (6)	C18—C19	1,554 (11)
C3—C4	1,532 (6)	C18—C20	1,549 (10)
C4—C4a	1,503 (6)	C9'—C10'	1,502 (6)
C4a—C8a	1,333 (6)	C10'—C11'	1,478 (6)
C4a—C5	1,496 (6)	C11'—C12'	1,320 (6)
C5—C6B	1,505 (13)	C12'—C13'	1,470 (6)
C5—C6A	1,532 (13)	C13'—C18'	1,384 (6)
C6A—C7A	1,516 (14)	C13'—C14'	1,384 (7)
C7A—C8	1,555 (11)	C14'—C15'	1,371 (7)
C6B—C7B	1,488 (15)	C15'—C16'	1,370 (7)
C7B—C8	1,534 (12)	C16'—C17'	1,356 (7)
C8—C22	1,515 (7)	C17'—C18'	1,381 (7)
C8—C23	1,530 (7)	C13''—C14''	1,376 (7)
C8—C8a	1,539 (6)	C13''—C18''	1,381 (6)
C10—C11	1,468 (6)	C14''—C15''	1,384 (7)
C11—C12	1,323 (6)	C15''—C16''	1,363 (7)
C12—C13	1,456 (7)	C16''—C17''	1,347 (7)
C13—C14	1,334 (8)	C17''—C18''	1,391 (7)

Tableau 1. *Coordonnées atomiques et facteurs d'agitation thermique isotrope équivalents ( $\text{\AA}^2$ )*

$$U_{\text{éq}} = (1/3) \sum_i \sum_j U_{ij} a_i^* a_j^* \mathbf{a}_i \cdot \mathbf{a}_j.$$

	x	y	z	$U_{\text{éq}}$	
Br'	0,50661 (2)	0,06631 (2)	0,79504 (10)	0,0809 (2)	C11—C12
Br''	1,12298 (3)	0,15661 (3)	0,42295 (15)	0,1055 (3)	C12—C13
O10	0,85826 (15)	0,26709 (12)	-0,3437 (5)	0,0659 (8)	C13—C14
O10'	0,7465 (2)	0,22227 (2)	-0,0406 (6)	0,0904 (12)	C8a—C1—C9'
C1	0,8088 (2)	0,3152 (2)	0,0229 (6)	0,0469 (9)	C8a—C1—C2
C2	0,8632 (2)	0,27870 (15)	0,0467 (6)	0,0452 (9)	C9'—C1—C2
C3	0,9218 (2)	0,3078 (2)	0,1027 (7)	0,0497 (9)	C10—C2—C3
C4	0,9137 (2)	0,3503 (2)	0,2736 (7)	0,0559 (10)	C10—C2—C1
C4a	0,8699 (2)	0,3896 (2)	0,1732 (7)	0,0510 (9)	C3—C2—C1
C5	0,8853 (2)	0,4455 (2)	0,2175 (9)	0,0667 (12)	C13''—C3—C4
C6A*	0,8333 (6)	0,4812 (5)	0,144 (2)	0,069 (3)	C13''—C3—C2
C7A*	0,8103 (6)	0,4658 (4)	-0,093 (2)	0,066 (3)	C4—C3—C2
C6B*	0,8525 (6)	0,4819 (6)	0,052 (3)	0,083 (4)	C4a—C4—C3
C7B*	0,7902 (5)	0,4663 (5)	0,002 (3)	0,077 (4)	C8a—C4a—C5
C8	0,7813 (2)	0,4112 (2)	-0,0940 (7)	0,0583 (11)	C8a—C4a—C4
C8a	0,8224 (2)	0,3730 (2)	0,0445 (7)	0,0481 (9)	C5—C4a—C4
C10	0,8652 (2)	0,2463 (2)	-0,1619 (7)	0,0505 (9)	C4a—C5—C6B
C11	0,8780 (2)	0,1905 (2)	-0,1361 (8)	0,0634 (11)	C4a—C5—C6A
C12	0,8752 (2)	0,1588 (2)	-0,3092 (8)	0,0633 (11)	C7A—C6A—C5
C13	0,8836 (2)	0,1026 (2)	-0,3116 (9)	0,0710 (13)	C6A—C7A—C8
C14	0,9320 (3)	0,0796 (2)	-0,2149 (15)	0,115 (3)	C7B—C6B—C5
C15	0,9395 (4)	0,0208 (3)	-0,222 (2)	0,178 (5)	C6B—C7B—C8
C16A*	0,8811 (9)	-0,0068 (7)	-0,258 (4)	0,156 (7)	C22—C8—C23
C17A*	0,846 (2)	0,0147 (7)	-0,461 (6)	0,194 (16)	C22—C8—C8a
C16B*	0,9043 (9)	-0,0017 (7)	-0,438 (4)	0,134 (6)	C23—C8—C8a
C17B*	0,8433 (10)	0,0147 (5)	-0,400 (5)	0,135 (9)	C22—C8—C7B
C18	0,8355 (3)	0,0729 (2)	-0,4455 (11)	0,095 (2)	C23—C8—C7B
C9'	0,7686 (2)	0,2970 (2)	0,1897 (7)	0,0514 (9)	C8a—C8—C7B
C10'	0,7416 (2)	0,2445 (2)	0,1365 (8)	0,0598 (11)	C22—C8—C7A
C11'	0,7079 (2)	0,2207 (2)	0,3025 (8)	0,0608 (11)	C23—C8—C7A
C12'	0,6800 (2)	0,1762 (2)	0,2622 (8)	0,0631 (11)	C8a—C8—C7A
C13'	0,6411 (2)	0,1493 (2)	0,3991 (8)	0,0587 (11)	C4a—C8a—C1
C14'	0,6279 (2)	0,1687 (2)	0,6002 (8)	0,0701 (13)	C4a—C8a—C8
C15'	0,5891 (2)	0,1438 (2)	0,7175 (8)	0,0688 (12)	C1—C8a—C8
C16'	0,5625 (2)	0,0989 (2)	0,6348 (8)	0,0591 (11)	O10—C10—C11
C17'	0,5744 (2)	0,0784 (2)	0,4390 (8)	0,0692 (13)	O10—C10—C2
C18'	0,6137 (2)	0,1037 (2)	0,3218 (8)	0,0687 (12)	C11—C10—C2
C13''	0,9709 (2)	0,2708 (2)	0,1799 (7)	0,0526 (10)	C12—C11—C10
C14''	0,9744 (2)	0,2460 (2)	0,3829 (8)	0,0761 (14)	C11—C12—C13
C15''	1,0194 (2)	0,2120 (2)	0,4538 (9)	0,083 (2)	C14—C13—C12
C16''	1,0615 (2)	0,2028 (2)	0,3196 (9)	0,0678 (13)	C14—C13—C18
C17''	1,0596 (2)	0,2261 (2)	0,1191 (9)	0,0714 (13)	C12—C13—C18
C18''	1,0143 (2)	0,2602 (2)	0,0483 (8)	0,0647 (12)	C13—C14—C21
C19	0,7770 (3)	0,0857 (3)	-0,3553 (15)	0,134 (3)	C13—C14—C15
C20	0,8291 (5)	0,0895 (4)	-0,6934 (12)	0,158 (4)	C21—C14—C15
C21	0,9818 (3)	0,1066 (3)	-0,082 (2)	0,166 (5)	C13—C14—C15
C22	0,7185 (2)	0,4059 (3)	-0,0497 (11)	0,099 (2)	C21—C14—C15
C23	0,7824 (3)	0,3995 (3)	-0,3415 (9)	0,099 (2)	C21—C14—C15

\* Facteur d'occupation = 0,5.

La structure a été résolue avec le programme *SHELXS86* (Sheldrick, 1985) et affinée avec le programme *SHELXL93* (Sheldrick, 1993). Les atomes H ont des positions calculées et des facteurs d'agitation thermique isotrope égaux à 1,20  $U_{\text{éq}}$  des atomes porteurs (1,50  $U_{\text{éq}}$  pour les atomes H des groupements méthyles). Pour les figures, utilisation d'une version modifiée du programme *ORTEPIII* (Johnson, 1976). Ordinateur: grappe de station IBM RS6000 de IDRIS

L'auteur remercie Messieurs A. Valla et M. Giraud du Laboratoire de Chimie Appliquée aux Corps Organisés

Tableau 2. *Paramètres géométriques ( $\text{\AA}$ , °)*

Br'—C16'	1,903 (4)	C13—C18	1,499 (8)
Br''—C16''	1,896 (4)	C14—C21	1,492 (10)
O10—C10	1,215 (5)	C14—C15	1,522 (9)
O10'—C10'	1,226 (5)	C15—C16A	1,51 (2)
C1—C8a	1,518 (6)	C15—C16B	1,56 (2)
C1—C9'	1,528 (5)	C16A—C17A	1,49 (2)

du Muséum National d'Histoire Naturelle de lui avoir proposé l'étude de cette molécule et fourni les cristaux.

Les listes des facteurs de structure, des facteurs d'agitation thermique anisotrope, des coordonnées des atomes d'hydrogène, des plans moyens, des angles de torsion et des distances et angles des atomes d'hydrogène ont été déposées au dépôt d'archives de l'UICr (Référence: PA1183). On peut en obtenir des copies en s'adressant à: The Managing Editor, International Union of Crystallography, 5 Abbey Square, Chester CH1 2HU, Angleterre.

## Références

- Andriamialisoa, Z., Valla, A., Zennache, S., Giraud, M. & Potier, P. (1993). *Tetrahedron Lett.*, **34**, 8091–8092.  
 Giraud, M., Andriamialisoa, Z., Valla, A., Zennache, S. & Potier, P. (1994). *Tetrahedron Lett.*, **35**, 3077–3080.  
 Johnson, C. K. (1976). ORTEPII. Rapport ORNL-5138. Oak Ridge National Laboratory, Tennessee, EU.  
 Meulenaer, J. de & Tompa, H. (1965). *Acta Cryst.* **19**, 1014–1018.  
 Sheldrick, G. M. (1985). *SHELXS86. Programme pour la Détermination des Structures Cristallines*. Université de Göttingen, Allemagne.  
 Sheldrick, G. M. (1993). *SHELXL93. Programme pour l'Affinement des Structures Cristallines*. Université de Göttingen, Allemagne.  
 Valla, A., Andriamialisoa, Z. & Giraud, M. (1994). *Nat. Prod. Lett.* **4**(2), 107–111.

*Acta Cryst.* (1996). **C52**, 259–262

## Phenyl 2-(Trimethylsilyl)ethynylphenyl Ketone and 2-(Trimethylsilyl)ethynylbenzaldehyde

J. GABRIEL GARCIA,<sup>a</sup> BETHZAYDA RAMOS,<sup>a</sup> AUGUSTO RODRIGUEZ<sup>a</sup> AND FRANK R. FRONCZEK<sup>b</sup>

<sup>a</sup>Clark Atlanta University, Atlanta, GA 30314, USA, and  
<sup>b</sup>Department of Chemistry, Louisiana State University, Baton Rouge, LA 70803-1804, USA

(Received 27 June 1995; accepted 14 August 1995)

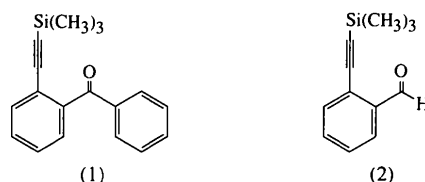
### Abstract

The two aromatic ring planes in phenyl 2-(trimethylsilyl)ethynylphenyl ketone,  $C_{18}H_{18}OSi$ , form a dihedral angle of  $67.16(6)^\circ$ . The Si atom lies  $0.1330(6)\text{ \AA}$  out of the plane formed by the disubstituted aromatic ring. The carbonyl unit is not coplanar with either aromatic ring, forming  $O—C—C—C$  torsion angles with magnitudes of  $41.4(3)$  and  $33.3(3)^\circ$ . The triple bond length is  $1.199(3)\text{ \AA}$  and the  $C=O$  and  $C—Si$  bond distances are  $1.218(2)$  and  $1.837(2)\text{ \AA}$ , respectively. In 2-(trimethylsilyl)ethynylbenzaldehyde,  $C_{12}H_{14}OSi$ , the molecule lies on a crystallographic mirror plane. The triple bond has

a length of  $1.192(3)\text{ \AA}$  and the  $C=O$  and  $C—Si$  bond distances are  $1.196(3)$  and  $1.839(3)\text{ \AA}$ , respectively.

### Comment

The title compounds were prepared as part of a structural study involving *o*-carbonyl(ethynyl)benzene derivatives (Garcia & Rodriguez, 1995), which are key intermediates in the synthesis of conjugated ene-yne-[3]-cumulenes, compounds with potential biological activity (Garcia, Ramos, Pratt & Rodriguez, 1995).



In phenyl 2-(trimethylsilyl)ethynylphenyl ketone, (1), the carbonyl unit is not coplanar with either of the aromatic rings, with torsion angles  $O—C9—C10—C11$  of  $33.3(3)^\circ$  and  $O—C9—C8—C7$  of  $41.4(3)^\circ$ . These are somewhat larger than those found in unsubstituted benzophenone, which average  $27.8^\circ$  (Lobanova, 1968; Fleischer, Sung & Hawkinson, 1968). The dihedral angle between the aromatic ring planes is  $67.16(6)^\circ$ , compared with  $56^\circ$  in benzophenone (Fleischer *et al.*, 1968).

In 2-(trimethylsilyl)ethynylbenzaldehyde, (2), the molecule lies on a crystallographic mirror plane in the uncommon space group *Ima2*. A search of the Cambridge Structural Database (Allen, Kennard & Taylor, 1983) for structures in this space group yielded only 13, of which only two met the strict criteria of Brock & Dunitz (1994) for reliable space group assignment. The mirror is occupied in all 13 structures. The molecules

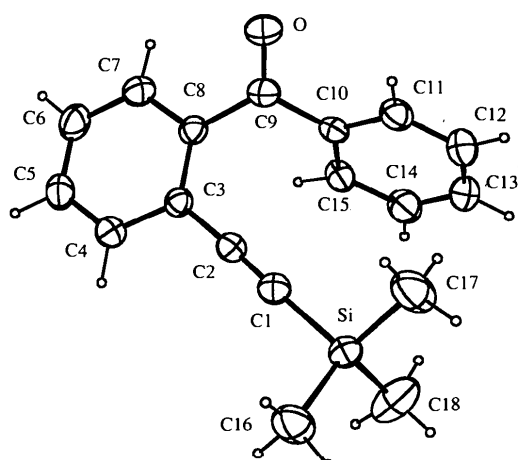


Fig. 1. The molecular structure of (1), with 30% ellipsoids and H atoms of arbitrary radii.